

# **Modelação do Manancial Subterrâneo de Ribeirão Preto**

## **2. Modelação Matemática**

**Abelardo Antônio de Assunção Montenegro (a)**

**Antônio Marozzi Righetto (a)**

### **Resumo**

O presente artigo desenvolve o equacionamento básico para modelação de aquíferos abertos superpostos, levando-se em consideração a permeabilidade e armazenabilidade do estrato intermediário. O escoamento subterrâneo é simulado com o auxílio do método dos Elementos Finitos. O objetivo é a modelação dos aquíferos Botucatu e Serra Geral, na região urbana de Ribeirão Preto-SP, responsáveis pelo abastecimento doméstico e industrial desta cidade.

**(a)** Professores do Departamento de Hidráulica e Saneamento da Escola de Engenharia de São Carlos - USP.



# Modelação do Manancial Subterrâneo de Ribeirão Preto

## 2. Modelação Matemática

### 1. Introdução

O estudo proposto visa ao desenvolvimento de um modelo numérico aplicável a sistemas de aquíferos abertos superpostos, capaz de se ajustar às peculiaridades inerentes a cada manancial. A partir de informações de parâmetros hidráulicos dos aquíferos e de fluxos e piezometrias do contorno, pretende-se simular os escoamentos subterrâneos e obter os níveis piezométricos no domínio em questão, levando-se em consideração a heterogeneidade e anisotropia de cada sistema, bem como as descargas de poços e fontes existentes.

Para Ribeirão Preto, espera-se que o modelo reproduza a piezometria existente, através de calibrações necessárias dos parâmetros hidrodinâmicos concernentes, bem como dos fatores físicos envolvidos. A caracterização hidráulica do domínio de Ribeirão Preto é desenvolvida no primeiro artigo desta série. As simulações estão em fase de desenvolvimento na Escola de Engenharia de São Carlos - USP.

O domínio em estudo é caracterizado pela superposição de dois aquíferos abertos, separados por uma camada semi-impermeável intermediária. O aquífero superior é fraturado e freático; no modelo será assumido contínuo e anisotrópico, com REV's de 1 km<sup>2</sup>; o inferior é um arenito parcialmente homogêneo e isotrópico atravessado localmente por diques e sills, semi-confinado em parte do domínio pelo aquífero superior e aflorante em algumas regiões. A interação vertical entre esses aquíferos é intensa, sendo inclusive superior ao fluxo subterrâneo horizontal que entra ou sai do domínio. Os poços em Ribeirão Preto exploram predominantemente o arenito inferior. Em algumas regiões, o intenso bombeamento rebaixou a piezometria a níveis inferiores ao do topo do aquífero, conduzindo este último a assumir localmente, comportamento freático.

### 2. Metodologia

Para a Formação Serra Geral, **puramente fraturada** em Ribeirão Preto, pode-se derivar, conforme propõe SNOW (1969), a expressão do tensor de condutividade hidráulica em cada REV em função das orientações de fissuras obtidas estatisticamente.

Para duas famílias de fissuras superpostas em um mesmo REV (de dimensões unitárias), de orientações  $\theta_{f1}$  e  $\theta_{f2}$  (Figura 1), assumindo a hipótese da independência de escoamentos nas intersecções, o tensor de permeabilidade total  $[K]_{REV}$  será a soma dos tensores para cada família, isto é,

$$[K]_{REV} = \frac{2}{3} \frac{g}{v} \left[ \left( \sum_{i=1}^{NF_1} \frac{b_i^3}{\Delta_i} \right) \begin{bmatrix} 1 - \sin^2 \theta_{f1} & \cos \theta_{f1} \sin \theta_{f1} \\ \sin \theta_{f1} \cos \theta_{f1} & 1 - \cos^2 \theta_{f1} \end{bmatrix} \right] +$$



$$+ \left( \sum_{j=1}^{NF_2} \frac{b_j^3}{\Delta_2} \right) \begin{bmatrix} 1 - \sin^2 \theta_{f2} & \cos \theta_{f2} \sin \theta_{f2} \\ \sin \theta_{f2} \cos \theta_{f2} & 1 - \cos^2 \theta_{f2} \end{bmatrix} \quad (1)$$

com

$$NF_1 = \frac{1}{\Delta_1} (\sin \theta_{f1} + \cos \theta_{f1}) - 1 \quad (2)$$

e

$$NF_2 = \frac{1}{\Delta_2} (\sin \theta_{f2} + \cos \theta_{f2}) - 1 \quad (3)$$

onde:  $NF_1$  e  $NF_2$  são os números de fissuras das famílias 1 e 2 no REV, respectivamente;  $\Delta_1$  e  $\Delta_2$  são os espaçamentos médios entre fissuras das famílias 1 e 2, respectivamente;  $2b_i$  é a abertura da fissura  $i$ ;  $\theta_{f1}$  e  $\theta_{f2}$  são as orientações das famílias 1 e 2 em relação ao eixo  $x_1$  do sistema de coordenadas local ( $x_1, x_2$ ) (Figura 1) e  $g$  e  $\nu$  são a aceleração da gravidade e a viscosidade cinemática da água, respectivamente.

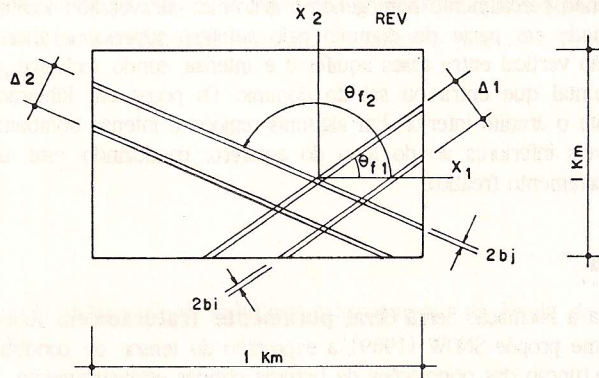


Fig. 1. Superposição de duas famílias de fissuras paralelas em um mesmo REV.

Dessa forma, um REV de  $1 \text{ km}^2$  pode ser concebido como um meio poroso equivalente de mesma dimensão. A expressão (1) fornece a condutividade hidráulica anisotrópica do meio contínuo equivalente, em relação ao sistema de coordenadas locais ( $x_1, x_2$ ). Deve-se salientar que o tensor de condutividade hidráulica existe e é simétrico, uma vez que o meio original preenche as condições estabelecidas por SAGAR e RUNCHAL [1982], a saber: fraturas infinitas, paredes planas nas fissuras e locação em um plano ortogonal.

O tensor em (1) pode também ser expresso por:

$$[K]_{REV} = \begin{bmatrix} k_{11} & k_{22} \\ k_{21} & k_{22} \end{bmatrix} \quad (4)$$

em relação ao sistema de coordenadas  $(x_1, x_2)$ , com

$$K_{11} = \frac{2}{3} \frac{g}{v} \left( \left( \sum_{i=1}^{NF_1} \frac{b_i^3}{\Delta_1} \right) (1 - \sin^2 \theta_{f1}) + \left( \sum_{j=1}^{NF_2} \frac{b_j^3}{\Delta_2} \right) (1 - \sin^2 \theta_{f2}) \right) \quad (5)$$

$$K_{21} = K_{12} = \frac{2}{3} \frac{g}{v} \left( \left( \sum_{i=1}^{NF_1} \frac{b_i^3}{\Delta_1} \right) \cos \theta_{f1} \sin \theta_{f1} + \left( \sum_{j=1}^{NF_2} \frac{b_j^3}{\Delta_2} \right) \cos \theta_{f2} \sin \theta_{f2} \right) \quad (6)$$

$$K_{22} = \frac{2}{3} \frac{g}{v} \left( \left( \sum_{i=1}^{NF_1} \frac{b_i^3}{\Delta_1} \right) (1 - \cos^2 \theta_{f1}) + \left( \sum_{j=1}^{NF_2} \frac{b_j^3}{\Delta_2} \right) (1 - \cos^2 \theta_{f2}) \right) \quad (7)$$

As condutividades principais  $K_{xx}$  e  $K_{yy}$ , associadas às direções de máxima e mínima condutividades, valem:

$$K_{xx} = - \frac{K_{11} - K_{22}}{2} \sin 2\sigma + K_{12} \cos 2\sigma \quad (8)$$

$$K_{yy} = \frac{K_{11} + K_{22}}{2} - \frac{K_{11} - K_{22}}{2} \cos \sigma - K_{12} \sin 2\sigma \quad (9)$$

em relação às direções principais  $(x, y)$ , onde

$$\sigma = \frac{1}{2} \arctg \frac{K_{12}}{(K_{11} - K_{22})} \quad (10)$$

é o ângulo entre os eixos  $x$  e  $x_1$ .

Em cada REV as direções principais de condutividade podem ser obtidas, então, através de uma rotação anti-horária de um ângulo  $\sigma$  do sistema de coordenadas  $(x_1, x_2)$ , com  $\sigma$  dado por (10).

No que se refere ao aquitarde entre o Serra Geral e o Botucatu, apresentando pequena espessura em relação ao sistema como um todo, é razoável supor curtos períodos transientes nessa camada, devidos a sua armazenabilidade.



Para resolução das equações diferenciais que regem o escoamento nos aquíferos será utilizado o Método dos Elementos Finitos, para a discretização do domínio e o Método das Diferenças Finitas para a discretização temporal. Os elementos utilizados serão triângulos, devido à grande simplicidade e flexibilidade desses elementos na descrição de contornos irregulares. Na parte do domínio correspondente ao sistema de aquíferos abertos, o modelo numérico adotará malhas bidimensionais de mesma geometria nos aquíferos superior e inferior, ligadas através de cordões de elementos finitos lineares através do aquítarde (Fig. 2).

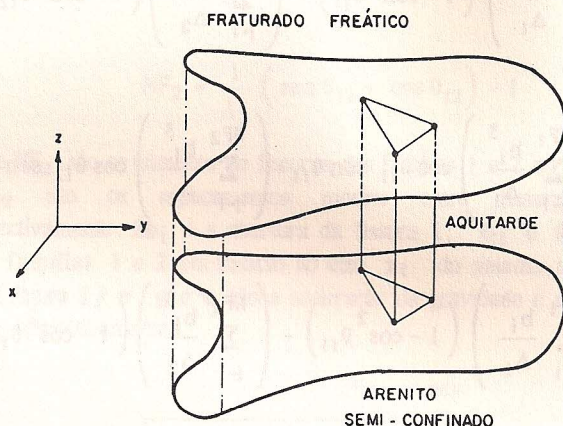


Fig. 2. Discretização típica quase-tridimensional utilizada para o sistema de aquíferos abertos.

FUJINAWA (1977, a) destaca que a adoção de um único elemento linear nos cordões verticais introduz erros apenas para baixos tempos de simulação, principalmente nos casos onde é elevado o contraste entre coeficientes de armazenabilidade nos aquíferos e no aquítarde. Uma vez que os intervalos de tempo do processo transiente no modelo proposto deverão ser elevados, a adoção de um elemento linear parece razoável.

O modelo integrado aquíferos-aquítarde apresentará então elementos finitos unidimensionais, um em cada cordão, para solução do escoamento vertical no aquítarde, e elementos finitos bidimensionais, para solução das equações do escoamento horizontal nos aquíferos. Assumindo-se os eixos coordenados colineares com as direções principais de condutividade, o escoamento em um dado REV do aquífero fraturado freático pode ser expresso por:

$$\frac{\partial}{\partial x} \left( K_{xx_1} h_1 \frac{\partial h_1}{\partial x} \right) + \frac{\partial}{\partial y} \left( K_{yy_1} h_1 \frac{\partial h_1}{\partial y} \right) - Q_1(x,y,t) - qv_1 = Sy_1 \frac{\partial h_1}{\partial t} \quad (11)$$

onde  $K_{xx_1}$  e  $K_{yy_1}$  são as condutividades principais no REV em questão,  $Sy_1$  a armazenabilidade,  $h_1$  a carga no aquífero,  $Q_1(x,y,t)$  a extração através de poços no aquífero e  $qv_1(x,y,t)$  o fluxo entre o aquífero fraturado e o aquítarde.

No caso de afloramento do arenito Botucatu tem-se

$$\frac{\partial}{\partial x} \left( K_2 h_2 \frac{\partial h_2}{\partial x} \right) + \frac{\partial}{\partial y} \left( K_2 h_2 \frac{\partial h_2}{\partial y} \right) - Q_2(x, y, t) - S y_2 \frac{\partial h_2}{\partial t} \quad (12)$$

onde  $K_2$  é a condutividade isotrópica do arenito,  $h_2$  a sua carga hidráulica,  $Q_2(x, y, t)$  a extração neste aquífero e  $S y_2$  a armazenabilidade.

Para o escoamento horizontal no arenito Botucatu confinado, pode-se exprimir

$$\frac{\partial}{\partial x} \left( T_2 \frac{\partial h_2}{\partial x} \right) + \frac{\partial}{\partial y} \left( T_2 \frac{\partial h_2}{\partial y} \right) - Q_2(x, y, t) - q v_2(x, y, t) - S_2 \frac{\partial h_2}{\partial t} \quad (13)$$

onde  $T_2$  é a transmissividade do arenito confinado,  $Q_2(x, y, t)$  a extração no aquífero,  $S_2$  sua armazenabilidade e  $q v_2$  o fluxo vertical através do aquífero superior.

A Figura 3 ilustra a situação para o arenito Botucatu semi-confinado superposto pelo Serra Geral.

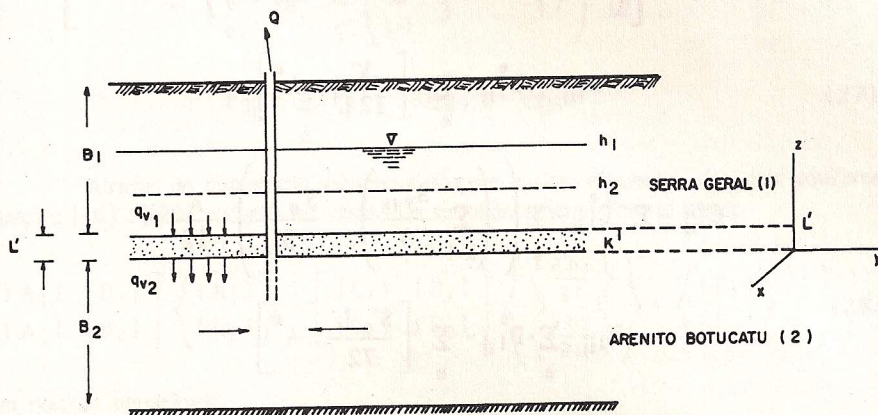


Fig. 3. Sistema de aquíferos abertos destacando-se o fluxo vertical através do aquífero intermediário.

A formulação do escoamento no aquífero, através do método de Galerkin, para uma malha constituída de um único elemento linear em cada cordão vertical, fornece (FUJINAWA (1977, a)):

$$q v_1 = \frac{K'}{L'} (h_1 - h_2) + S'_0 L' \left( \frac{1}{3} \frac{\partial h_1}{\partial t} + \frac{1}{6} \frac{\partial h_2}{\partial t} \right) \quad (14)$$



$$q_{v2} = -\frac{K'}{L'} (h_1 - h_2) + S'_0 L' \left( \frac{1}{6} \frac{\partial h_1}{\partial t} + \frac{1}{3} \frac{\partial h_2}{\partial t} \right) \quad (15)$$

onde a indexação nas cargas refere-se ao Serra Geral (1) e ao Botucatu (2),  $K'$  a condutividade hidráulica do aquífero,  $L'$  a sua espessura e  $S'_0$  sua armazenabilidade específica.

Substituindo-se o fluxo  $q_{v1}$  da equação (11) pela expressão (14), e aplicando-se a integração de Galerkin tem-se a equação global para o Serra Geral:

$$[A_1] \{h_1\} + [B_1] \{h_2\} + [C_1] \left\{ \frac{\partial h_1}{\partial t} \right\} + [D_1] \left\{ \frac{\partial h_2}{\partial t} \right\} = \{F_1\} \quad (16)$$

com

$$A_{1ij} = \sum_e A_{1ij}^e = \sum_e \left[ \left( \sum_{k=1}^3 \left( T_{xx1k} \frac{b_i^e b_j^e}{12 A^e} + T_{yy1k} \frac{c_i^e c_j^e}{12 A^e} \right) \right) \cdot \frac{mk'}{12 L'} A^e \right] \quad (17)$$

$$B_{1ij} = B_{1ij}^e = \sum_e \left[ \frac{K'}{12 L'} \cdot A^e \right] \quad (18)$$

$$C_{1ij} = \sum_e C_{1ij}^e = \sum_e \left[ \left( \sum_{k=1}^3 \frac{S_{y1k}}{3} \right) + \frac{S'_0 L'}{3} \right] \frac{A^e}{12} m \quad (19)$$

$$D_{1ij} = \sum_e D_{1ij}^e = \sum_e \left[ \frac{S'_0 L'}{72} \cdot A^e \right] \quad (20)$$

$$F_{1ij} = \sum_e F_{1ij}^e = -Q_{1wi} + Q_{1bi} \quad (21)$$

onde o somatório é realizado sobre os elementos adjacentes ao nó  $i$  da malha de elementos finitos,  $A^e$  é a área do elemento em questão,  $b_i^e$  e  $c_i^e$  são coeficientes geométricos (CHORLEY & FRIND (1978)),  $m = 2$  para  $i = j$  e  $m = 1$  para  $i \neq j$ .

$Q_{1wi}$  é a descarga do poço do nó  $i$ , enquanto  $Q_{1bi}$  é a alimentação nodal equivalente no contorno do domínio, para o interior do elemento em questão.

Aplicando-se o método de Galerkin à equação (13) tem-se a expressão global para o arenito Botucatu nas regiões de confinamento.

$$[A_2] \{h_1\} + [B_2] \{h_2\} + [C_2] \left\{ \frac{\partial h_1}{\partial t} \right\} + [D_2] \left\{ \frac{\partial h_2}{\partial t} \right\} = [F_2] \quad (22)$$

com

$$A_{2ij} = \sum_e A_{2ij}^e - \sum_e \left[ \frac{mK'}{12L'} A^e \right] \quad (23)$$

$$B_{2ij} = \sum_e B_{2ij}^e - \sum_e \left[ \left( \sum_{k=1}^3 T_{2k} \frac{b_i^e b_j^e + c_i^e c_j^e}{12 A^e} \right) + \frac{m K'}{12 L'} \right] \quad (24)$$

$$C_{2ij} = \sum_e C_{2ij}^e - \sum_e \frac{S'_o L' A^e}{72} \quad (25)$$

$$D_{2ij} = \sum_e D_{2ij}^e - \sum_e \left( \sum_{k=1}^3 \frac{S_{2k}}{3} + \frac{S'_o L'}{3} \right) \frac{A^e}{12} m \quad (26)$$

$$F_{2i} = \sum_e F_{2i} - Q_{2wi} + Q_{2bi} \quad (27)$$

Através da numeração sequencial dos nós e dos elementos dos dois aquíferos, as equações (16) e (20) poderão ser resolvidas simultaneamente. Tem-se assim:

$$\begin{bmatrix} [A_1] & [B_1] \\ [A_2] & [B_2] \end{bmatrix} \begin{Bmatrix} \{h_1\} \\ \{h_2\} \end{Bmatrix} + \begin{bmatrix} [C_1] & [D_1] \\ [C_2] & [D_2] \end{bmatrix} \begin{Bmatrix} \left\{ \frac{\partial h_1}{\partial t} \right\} \\ \left\{ \frac{\partial h_2}{\partial t} \right\} \end{Bmatrix} = \begin{Bmatrix} \{F_1\} \\ \{F_2\} \end{Bmatrix} \quad (28)$$

ou, em notação simplificada

$$[H] \{h\} + [P] \left\{ \frac{\partial h}{\partial t} \right\} = \{F\} \quad (29)$$

Para o arenito aflorante, o Método de Galerkin aplicado à (12) fornece:

$$[H_2] \{h_2\} + [P_2] \left\{ \frac{\partial h_2}{\partial t} \right\} = \{F_2\} \quad (30)$$

com

$$H_{1ij} = \sum_e H_{2ij} - \sum_e \left( \sum_{k=1}^3 T_{2k} \frac{b_i^e b_j^e + c_i^e c_j^e}{12 A^e} \right) \quad (31)$$



$$P_{1ij} = \sum_e P_{2ij} - \sum_e \left( \sum_{k=1}^3 S y_{2k} \right) \frac{A^e}{36} m \quad (32)$$

$$F_{2i} = \sum_e F_{2i} - Q_{2wi} + Q_{2bi} \quad (33)$$

A mudança de regime confinado para freático ou vice-versa pode ser facilmente implementada no modelo, bastando-se para tal, alteração no cálculo da transmissividade e mudança no valor da armazenabilidade do aquífero. Por exemplo, caso o Botucatu, sob o Serra Geral, adquira condições freáticas, a transmissividade na expressão (24) deverá ser calculada através da equação T-K.h e não mais a partir de T-K.b; a armazenabilidade deverá ser aumentada e igualada à porosidade efetiva do arenito.

Para a análise do escoamento transiente nos aquíferos freáticos, as transmissividades serão obtidas com a extrapolação de cargas hidráulicas em tempos anteriores (PINDER (1977)). O modelo consistirá, então da resolução do sistema formado pela reunião das equações (29) e (30).

No que se refere à inicialização do modelo, esta deverá ser efetuada a partir de uma solução permanente aproximada, onde se despreze a armazenabilidade do aquífero e não se leve em consideração o bombeamento no domínio.

O fluxo no contorno poderá ser simulado a partir de um valor médio de gradiente hidráulico no sentido E-W, desde que se estime a transmissividade nas regiões de fronteira. No entanto, os fluxos de contorno só podem ser expressos realisticamente a partir de dados de níveis estáticos de poços piezométricos a serem instalados na fronteira do domínio.

A proposta de **calibração** do estudo envolve a reprodução dos dados de níveis dinâmicos do domínio.

Para a atenuação de acentuadas discrepâncias entre os níveis piezométricos reais e simulados, deve-se proceder a inferências nos parâmetros hidrodinâmicos dos aquíferos e em fatores físicos tais como fluxos de entrada ou saída.

O modelo poderá ser utilizado para previsão de piezometrias futuras, a partir dos valores obtidos para os níveis dinâmicos atuais.

## Conclusões

Em virtude da carência atual de dados, o número de graus de liberdade no modelo é bastante elevado para se esperar uma calibração realista do sistema.

Os parâmetros hidrodinâmicos do Botucatu aflorante, do Botucatu semi-confinado, do Serra Geral e do aquífero intermediário são imprecisos. Os fatores hidrológicos envolvidos tais como recarga horizontal no contorno, recarga nas regiões de afloramento do Botucatu e percolação profunda são pouco conhecidos.



Assim, discrepâncias entre valores piezométricos reais e simulados em uma dada região não poderão ser ainda isoladamente atribuídos a um dado fator hidrológico ou a um parâmetro hidrodinâmico específico, mas sim a grupos de fatores e parâmetros envolvidos.

A calibração do modelo conduzirá, possivelmente, tanto a parâmetros hidráulicos quanto a fatores hidrológicos irreais, não permitindo o conhecimento da hidrodinâmica natural ao sistema. No entanto, o modelo permitirá o planejamento de instalações piezométricas de controle, levantamentos hidrogeológicos localizados necessários para o entendimento dos aquíferos, e principalmente, o início do gerenciamento dos recursos hídricos subterrâneos da cidade de Ribeirão Preto.

### Lista Bibliográfica

- [1] BEAR, J. "Dynamics of Fluids in Porous Media". Elsevier, New York, 1972.
- [2] BEAR, J. "Hydraulics of Groundwater". Israel, McGraw-Hill, 1979.
- [3] CHORLEY, D. W. & FRIND, E. D. "An Iterative Quasi-Three-Dimensional Finite Element Model for Heterogeneous Multiaquifer Systems". Water Resources Research, 14 (5): 943-952, 1978.
- [4] CIRILO, J. A., CABRAL, J. J. S. P., FRANÇA, H. P. M. & NETO, B. G. M. V. "Utilização de Modelos Matemáticos para Acompanhamento da Exploração de Aquíferos Confinados ou Semi-Confinados. Recife - PE, ainda não publicado.
- [5] FUJINAWA, K. "Finite Element Analysis of Groundwater Flow in Multiaquifer Systems: The Behavior of Hydrological Properties in an Aquitard while being pumped". Journal of Hydrology, 33: 59-72, 1977.
- [6] FUJINAWA, K. "Finite Element Analysis of Groundwater Flow in Multiaquifer Systems: a Quasi-Three-Dimensional Flow Model". Journal of Hydrology, 33: 349-362, 1977.
- [7] PINDER, G. F., FRIND, E. O. & PAPADOPULOS, S. S. "Functional Coefficients in the Analysis of Groundwater Flow". Water Resources Research, 9 (1): 222-226, 1973.
- [8] PINDER, G. F. & GRAY, W. G. "Finite Element Simulation in Surface and Subsurface Hydrology". Academic Press, New York, 1977.
- [9] SAGAR, B. & RUNCHAL, A. "Permeability of Fractured Rock: Effect of Fracture Size and Uncertainties". Water Resources Research, 18 (6): 266-274, 1982.
- [10] SNOW, D. T. "Anisotropic Permeability of Fractured Media". Water Resources Research, 5 (6): 1273-1289, 1969.